

固体物质波后状态方程*

高 占 鹏

一般讨论固体状态方程时,通常应用德拜理论处理原子热压部分.但对于结构较复杂的矿物质来说,尽管我们忽略了光学型的爱因斯坦项,在一定范围内有较好的近似,但它的物理图象不是那么清楚的.而且在计算中用到了 Grüneisen 关系在概念上也很含糊.本文试图避开 Debye 理论,根据实际物理过程,采用近似方法求出统观的状态方程,即 $P(V, E)$ 关系和实用的卸载方程,进一步导出 γ 近似表达式,此表达式的导出不像 Richter 那样做任何假设.

一、 $P(V, E)$ 的表达式

由热力学恒等式

$$\left(\frac{\partial E}{\partial V}\right)_T = T \left(\frac{\partial P}{\partial T}\right)_V - P \quad (1)$$

定义

$$\left(\frac{\partial P}{\partial E}\right)_V = \rho\gamma, \quad \left(\frac{\partial E}{\partial T}\right)_V = C_V;$$

而

$$\left(\frac{\partial P}{\partial T}\right)_V = \left(\frac{\partial P}{\partial E}\right)_V \left(\frac{\partial E}{\partial T}\right)_V,$$

(1) 式变为

$$P = - \left(\frac{\partial E}{\partial V}\right)_T + \rho\gamma C_V T. \quad (2)$$

假如不考虑热电子的作用,把能量写成两部分,仅与体积有关的弹性能和物质的热能,即

$$E = E(V) + E(T),$$

而且把 $E(T)$ 写成

$$E(T) = \int_0^T C_V dT \approx E_0 + C_V T,$$

同时,

物理

$$P_x(V) = - \left(\frac{\partial E(V)}{\partial V}\right)_T = - \frac{dE(V)}{dV},$$

这时 (2) 式变成

$$P = P_x(V) + \rho\gamma E(T). \quad (3)$$

这就是 MI-Grüneisen 状态方程,对于金属物质 γ 仅与体积有关.如果考虑到热电子的贡献时, ω 值并非常数,此时定义

$$\rho\lambda = \left(\frac{\partial P}{\partial E}\right)_V,$$

仿 (3) 式得

$$P = P_x(V) + \rho\lambda E_T(V, T). \quad (4)$$

把物质的总量表示成

$$E = E_x(V) + E_T(V, T),$$

(4) 式成为

$$\begin{aligned} P &= P_x(V) - \rho\lambda E_x(V) + \rho\lambda E \\ &= P' + \rho\lambda E. \end{aligned} \quad (5)$$

我们称 P' 为固体的应力项,如果 λ 仅与体积有关,则 P' 就是由于体积的改变形成之应力. λ 称之为等效 Grüneisen 系数.如果压力不高时,电子的热贡献不计,则 (5) 式变成了 (3) 式.如果物质汽化时,或为流体时,则 $P' = 0$. 中间压力时为两者之间的插值.

二、等熵近似

当物体受到击波作用时,其加卸载过程时间比较短,物质与周围环境来不及热交换,因此过程看成是绝热过程.波后的物理过程认为是等熵过程.由热力学第二定律,

$$dE + PdV = TdS, \quad (6)$$

* 1978 年 6 月 14 日收到.

其中

$$dE = \left(\frac{\partial E}{\partial P}\right)_V dP + \left(\frac{\partial E}{\partial V}\right)_P dV, \quad dS = 0,$$

代入到(6)式中,则

$$\left(\frac{\partial E}{\partial P}\right)_V dP + \left[\left(\frac{\partial E}{\partial V}\right)_P + P\right] dV = 0. \quad (7)$$

将(5)式代入(7)式,就得到

$$\frac{V}{\lambda} \frac{dP}{dV} + \frac{\partial}{\partial V} \left(\frac{V}{\lambda}\right) (P - P') - \frac{V}{\lambda} \cdot \frac{dP'}{dV} + P = 0. \quad (8)$$

此外, 击波加载以后物体将发生一部分永久形变(包括物体的孔隙被压实), 故当卸载 P_{20} 时, 物体不能恢复到原来 V_0 值. 实验证明

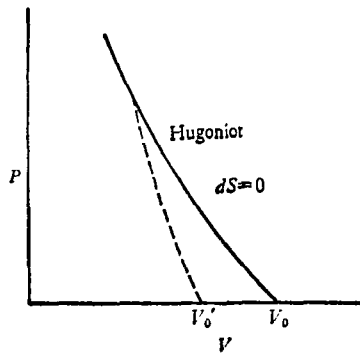


图1 石灰岩 P - V 关系

卸载以后的比容 $V'_0 < V_0$, 而且与加载的峰压有关. 如图1所示, 假定某一卸载线由 P_H 到 V'_0 点 ($P = 0$), 可见

$$\int_0^{P_H} \frac{dV}{dP} dP = V_H - V'_0. \quad (9)$$

对于一定的 P_H 值, 上式之积分值为常数. 这说明我们所求的 $V(P)$ 关系为(9)式的泛函, 而(8)式为此泛函的一个约束条件, 而且为非完整约束.

把(8)式除以 $\frac{dP}{dV}$, 并把它写成为两个变

量函数:

$$G \left[V, \frac{V}{\lambda}, \frac{\partial}{\partial P} \left(\frac{V}{\lambda}\right), \frac{dV}{dP}, P \right] = \frac{V}{\lambda} + \frac{\partial}{\partial P} \left(\frac{V}{\lambda}\right)$$

$$\cdot (P - P') - \frac{V}{\lambda} \frac{dP'}{dV} \frac{dV}{dP} + P \frac{dV}{dP}. \quad (10)$$

函数 $F = \frac{dV}{dP} + \alpha(P)G$, 满足两个 Euler 方程

$$\left\{ \frac{d}{dP} \left(F \frac{dV}{dP} \right) - F_V = 0, \quad (11) \right.$$

$$\left. \frac{d}{dP} \left(F \frac{\partial}{\partial P} \left(\frac{V}{\lambda}\right) \right) - F \frac{V}{\lambda} = 0. \quad (12) \right.$$

将 F 值代入到第一个 Euler 方程中, 由于 $F_V = 0$ (不显含 V), 则有

$$F \frac{dV}{dP} = 1 + \alpha(P) \left[-\frac{V}{\lambda} \frac{dP'}{dV} + P \right] = C \text{ (常数)}. \quad (13)$$

关于 $\frac{V}{\lambda}$ 的第二个 Euler 方程为

$$\frac{d\alpha}{dP} (P - P') + \alpha(P) - \alpha(P) + \frac{\partial}{\partial V} P' \frac{\partial V}{dP} \alpha(P) = 0. \quad (14)$$

两边除以 $(P - P')\alpha$, 乘以 dP 则得到

$$\frac{d\alpha}{\alpha} + \frac{dP'}{P - P'} = 0.$$

积分后得到

$$P = P' + \alpha(P)/C. \quad (15)$$

$\alpha(P)$ 与体积无关, 对(15)求 V 导数得到

$$\frac{dP}{dV} = \frac{dP'}{dV}, \quad (16)$$

这就是 Rice 的结果^[1], Rice 用了特殊的 $\Gamma = V/(C_0 - V)$ 的表达式及 Grüneisen 方程得到了(16)关系. 这里并没有对 λ 及状态方程做任何假定. (15)或(16)式就是我们所求的卸载方程.

把(15)式代入到约束条件(8)式中得到

$$\frac{\partial}{\partial V} \left(\frac{V}{\lambda}\right) (P - P') + P = 0. \quad (17)$$

应用(12)式与(17)式联立消去 P 以后, 得到一阶线性微分方程

$$\frac{\partial}{\partial V} \left(\frac{V}{\lambda}\right) + \frac{V}{\lambda} \frac{dP'}{dV} / (P - P') = -\frac{C - 1}{\alpha(P - P')}. \quad (18)$$

解此方程便得到

$$\frac{V}{\lambda} = \frac{C_2}{C_1} \alpha - \frac{(C-1)}{\alpha^2} C_1 V, \quad (19)$$

即

$$\lambda = \frac{V}{A - BV} = \frac{CV}{C_0 - V}. \quad (20)$$

此结果与 Richter 根据击波关系定义

$$\left(\frac{\partial P}{\partial E}\right) = \frac{\Gamma}{V}$$

所得到的 $\Gamma = V/(C_0 - V)$ 相似。

三、等熵卸载关系

如果冲击加载的压力很大,使物质产生汽化,此时的波后的物理过程可认为是气体等熵卸载,可取绝热指数为某一定值,或变化值进行卸载($\lambda \approx 0.2-0.6$)。如果压力小于汽化压力时,由(15)和(16)式知其卸载关系由 $P(V)$ 表示。如图2所示,当 $P_s = 0$ 时, $V = V_f$, 而且

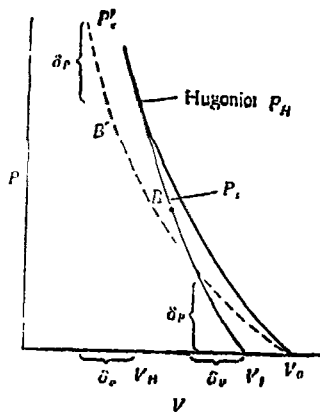


图2 花岗岩 $P-V$ 关系

V_f 与加载 P_H 有关。如果从 (P_H, V) 点开始卸载,其路径为 $P_H V_f$, 相当于把 $P_s(V)$ 曲线移值到 $P_s(V)$ 线上,那么两者之间压力相差一个 δP 值,比容相差 δV 值。对 $P_s(V)$ 线上任一点 B ,其比容为 V ,实际上 $P' V_f$ 线上的 B' 点与之对应比容为 $V - \delta V$ 。由(15)式知 $P = P' + C$, 即

$$P(V) = P'(V - \delta V) + \delta P. \quad (21)$$

物理

但当 $V = V_H$ 时, $P_s(V_H) = P_H$, 则 $\delta P = P_H + P'(V_H - \delta V)$, 故得:

$$P_s(V) = P_H + P'(V - \delta V) - P'(V_H - \delta V). \quad (22)$$

实际上,从(16)式即

$$\frac{dP_s}{dV} = \frac{dP'}{dV}$$

两边进行积分,左边为 $\int_{V_H}^V$, 而右边积分限为

$$\int_{V_H - \delta V}^{V - \delta V}, \text{ 即}$$

$$P_s(V) - P_H(V_H) = P'(V_H - \delta V) + P'(V - \delta V).$$

(22) 式就是实际所需要的卸载方程。

四、等效 Grüneisen 系数及 $P'(V)$ 的计算

Richter 应用击波关系及条件 $\frac{\partial E_0}{\partial P_0} = 1$, 导出了关系 $\Gamma = V/(C_0 - V)$, 它与(20)式很相似。(20)式可重写为

$$\lambda = C \frac{V}{C_0 - V}, \quad (23)$$

其中 C 和 C_0 两常数是由正常状态下的 Grüneisen 系数 γ_0 及冲击波使物体汽化时(压力为 P_H , 比容为 V_H) 的 λ' 值决定, 即

$$\lambda = \gamma_0 \frac{C_0 \rho_0 - 1}{\rho_0 C_0 \eta - 1}, \quad (24)$$

$$C_0 = \frac{1}{\rho_0} \frac{\gamma_0 / \lambda' - 1}{\gamma_0 / \lambda' - \eta_{\alpha}}, \quad (25)$$

式中 $\eta = \rho / \rho_0$, ρ_0 为物质的初始密度, η_{α} 为物质汽化时的压缩比。应用(24)式,取 $\lambda' = 0.6$, 计算花岗岩 λ 值(见图3和表1)。

由(5)式可知 $P'_s(V)$ 与纯汽压 $P_s(V)$ 有区别,为了求出 $P'_s(V)$, 需求 $P_s(V)$ 值。由(5)式得

$$P'_s(V) = P_s(V) - \frac{\lambda}{V} E_s(V). \quad (26)$$

但(5)式于冲击波面上时应为

表1 花岗岩的 λ 计算值

ρ/ρ_0	1	1.067	1.27	1.4	1.5	1.6	1.72	1.8	2.0
λ	1.61	1.474	1.173	1.037	0.953	0.881	0.807	0.765	0.676
P_x	0	2.936	11.40	17.97	23.26	28.0	39.08	47.3	

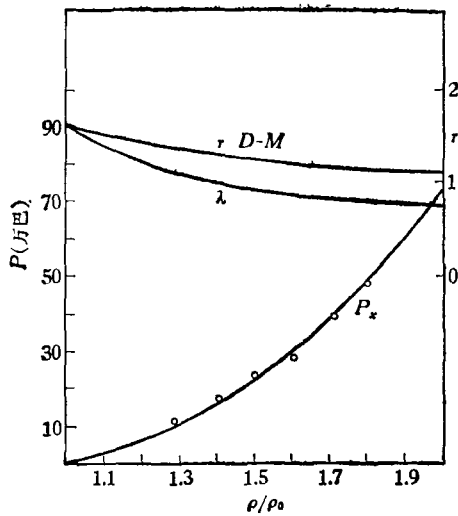


图3 花岗岩 λ , P_x - η 关系 (实线 P_x 值应用文献 [4] 方法求得之值, \circ 为应用 λ 关系求得之值)

$$P_H = P' + \frac{\lambda}{V} E_H. \quad (27)$$

消去 P' 值, 便得到

$$P_H - P_x(V) = \frac{\lambda}{V} [E_H - E_x(V)]. \quad (28)$$

再应用击波关系

$$E_H = \frac{1}{2} P_H (V_0 - V)$$

及 (24) 式的 λ 关系, 并注意到

$$P_x(V) = - \frac{dE_x}{dV},$$

便得到

$$\frac{dE_x}{dV} + C \frac{E_x}{C_0 - V} = P_H \left[1 - \frac{V_0 - V}{2(C_0 - V)} \right]. \quad (29)$$

由条件 $E_x(V_0) = 0$, 解此微分方程, 得出 E_x 为

$$E_x(V) = (C_0 - V)^c \int_V P_H \left[(C_0 - V)^{-c} - \frac{C(V_0 - V)}{2(C_0 - V)^{1+c}} \right] dV. \quad (30)$$

由 (28) 式得到 P_x 值为

$$P_x(V) = \frac{CE_x}{C_0 - V} - P_H \left[\frac{C(V_0 - V)}{2(C_0 - V)} - 1 \right]. \quad (31)$$

由 (31) 式求出的 $P_x(V)$ 值见表 1 及图 3, 其中

$$C = \gamma_0(\eta_{\pi} - 1) / \left(\frac{\gamma_0}{\lambda'} - \eta_{\pi} \right). \quad (32)$$

$P_x(V)$ 及 $E_x(V)$ 值为已知, 由 (26) 式, 就可求得 $P'_x(V)$ 值. 用此方法求到的 $P'_x(V)$ 局限于实测的 P_H 范围内. 在一般情况下, 实测的 P_H 对岩石来讲在百万巴以下, 实际应用 $P'_x(V)$ 做卸载时也就在百万巴以下才适用.

五、格吕乃森卸载方程

由德拜模型计算的岩石状态方程有一定的近似性. 其中, $P_x(V)$ 冷压应用实测的 P_H 值, 及简单固体的格吕乃森即 D-M 公式求得的. 因此在击波面附近用此状态方程比较好. 对于离击波阵面较远地方效果较差, 主要是温度值有偏差.

如果根据实际问题的需要, 计算击波压力比较低的波后参量, 应用格吕乃森方程做卸载方程也能得到满意结果. 其方程为

$$P = P_H + \frac{\Gamma}{V} (E - E_H), \quad (33)$$

其中 P_H 及 E_H 为击波阵面上的压力和能量, Γ 值建议用 (20) 关系. 有的作者取 $\Gamma = \Gamma_0 =$ 常

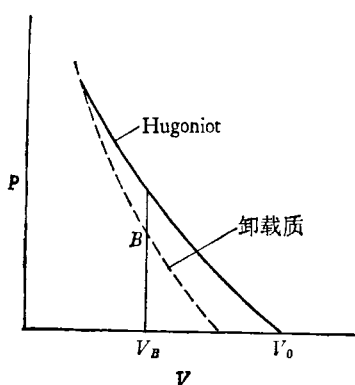


图4 P-V 曲线

数. 因为(33)式也是在击波阵面近处效果好. 因此在用此方程时, 注意到过程中 P_H 值取法. 如图4所示那样, 从A点卸到B点时, 对应的比容为 V_B , 以此 V_B 值对应 Hugoniot 线上的 P_H 值为此时(32)式的 P_H 值及 E_H 值. 因为如此取法, B点与 Hugoniot 上最近.

应用(22)做卸载方程时, 方程

$$PS(V) = P_H(V_H) + P'_x(V - \delta V) - P'_x(V_H - \delta V)$$

中的 δV 值需每次卸载求解一次. 如果 $P'(V)$ 用多项式表示, 即

$$P'_x(V) = \sum_i A_i \left(\frac{V_0}{V}\right)^{1+\frac{i}{3}}. \quad (34)$$

那么此方程有多个根. 但实际上 $P'_x(V)$ 在我们需要的范围内为单调的, 仅与实轴有一个交点, 只有一个实根. 用普通的牛顿迭代法, 收敛很快.

参 考 文 献

- [1] M. H. Rice, Equation of State Model Noncompacted Materials, REPT. UCRL-50627 (1969).
- [2] H. P. Richter, Consistency of Grüneisen Ratio With Fluid Flow Model, REPT. UCRL-70479 (1967).
- [3] H. P. Richter, Numerical Problem With Grüneisen Ratios, REPT UCRL-70670 (1967).

强击波作用下石墨转变金刚石的相变动力学*

邵丙璜 汪金通

(中国科学院力学研究所)

一、前 言

强击波作用下, 相变动力学涉及到爆炸力学和相变动力学两个方面, 因此问题比较复杂, 国内外有过一些定性说明, 但未看到有成功的定量计算^[1-3]. 本文讨论了击波作用下金刚石成核和生长过程, 定量地说明击波法形成金刚石是微晶聚晶体的热力学原因, 说明在静压法中广泛使用的触媒金属, 在击波法中将不起明显作用的原因, 给出了选择参加剂金属品种的依据; 我们采用“谐振子”的力学模型, 计算了结构直接转变条件下的活化能, 给出了压力、温度、时间对金刚石形成量的表达式, 与典型试验数

据对比, 结果相当满意, 计算表明, 六方石墨和菱形石墨在金刚石的转化率方面, 存在极大的差距. 此外, 还解释了目前国内爆炸法人造金刚石转化率的原因, 指出了提高转化率的某些可能途径. 最后给出了击波等熵卸载到零压后, 残余高温造成金刚石严重石墨化的定量关系式, 指出了防止石墨化的一些原则.

二、吉布斯函数 G 和临界晶核半径 r_k

为了研究相变, 引用了态函数——吉布斯自由能 G . 由热力学基本方程可知

$$dG = Vdp - SdT - dW, \quad (1)$$

* 1978年7月4日收到.